

PAPER DETAILS

TITLE: Antiviral peptidlerin SARS COV-2 ana proteaz yapısına bağlanma etkinliklerinin protein-yanastırma yöntemi ile incelenmesi: In silico bir çalışma

AUTHORS: İlter DEMIRHAN, Erkan ÖNER, Ergül BELGE KURUTAŞ

PAGES: 121-127

ORIGINAL PDF URL: <https://dergipark.org.tr/tr/download/article-file/2330139>



Araştırma makalesi / Research article

Antiviral peptidlerin SARS COV-2 ana proteaz yapısına bağlanma etkinliklerinin protein-yanaştırma yöntemi ile incelenmesi: *In silico* bir çalışma

İlter Demirhan^{*1} , Erkan Oner² , Ergul Belge Kurutas³

¹ Harran University, Health Services Vocational School, Biomedical Device Technology Program, 63300, Sanliurfa, Türkiye

² Mersin University, Faculty of Pharmacy, Department of Biochemistry, 33169, Mersin, Türkiye

³ Kahramanmaraş Sutcu Imam University, Faculty of Medicine, Department of Medical Biochemistry, 46040, Kahramanmaraş, Türkiye

Öz

Virüsler günümüzde hastalıklarının önemli etkenleri arasında yer almaktadır. Viral hastalıklar için tasarlanan tedavilerin yetersizliği yeni tedavi yöntemlerinin tasarılanması ihtiyacını doğurmaktadır. 2019 yılında ortaya çıkan COVID-19 (SARS COV-2) de yeni antiviral ajanların ihtiyacı olduğu görülmüştür. Yapılan çalışmalar sonucu sunulan raporlarda viral direncin artığı görülmektedir. Bu çalışmanın amacı, antiviral/antimikrobiyal etkinliğinde sahip peptidlerin SARS COV-2 ana proteaz yapısında protein-peptid yanaştırma yöntemiyle araştırılmasıdır. Antiviral aktiviteye sahip antimikrobiyal peptidlerin sayısı hala düşük olsada, hali hazırda farmasötik olarak temin edilebilen antiviral ilaçlar olma yolunda muazzam bir potansiyel göstermektedir. Antiviral etkinliğinde sahip alloferon 1, e ctry2801, temporin 1ta, dermaseptin s4, clavanin b, magainin b2 ve magainin b1 peptidlerinin SARS COV-2 ana proteaz (PDB ID:6LU7) yapısında protein çalışması CABSDOCK ile yapılmıştır. Magainin b2 ve peptid ctyr2801 peptidleri bağlanmalarının yüksek düzeyde olduğu, alloferon 1 ve magainin b1 in orta düzeyde bağlanma afinitesinin olduğu, termorin 1ta, dermaseptin s4 ve clavanin b'nin düzeyde bağlanma afinitesine sahip olduğu gözlemlenmiştir. Sonuçlarımıza göre; peptid ctyr2801 ve magainin b2'nin, SARS COV-2 ana proteaz yapısında *in vivo* çalışmalara ve diğer çalışmalara öncülük edeceği düşünülmektedir.

Anahtar kelimeler: Antiviral peptide; CABSDOCK; protein peptide yanaştırma; SARS COV-2 Mpro

Investigation of antiviral peptides in SARS COV-2 major protease structure by protein-e docking method: An *in silico* study

Abstract

Viruses are among the important factors of diseases today. The inadequacy of the treatments designed for viral diseases necessitates the design of new treatment methods. It has been seen that there is a need for new antiviral agents in COVID-19. In the reports presented as a result of the studies, it was seen that the viral resistance has increased. The aim of this study is to investigate peptides with antiviral/antimicrobial activity in the main protease (Mpro) structure of SARS COV-2 by protein-peptide docking method. Although the number of antimicrobial peptides with antiviral activity is still low, they still show enormous potential as pharmaceutically available antiviral drugs. Protein analysis of alloferon 1, ctry2801, temporin 1ta, dermaceptin-s4, clavanin b, magainin b2 and magainin b1 peptides with antiviral activity in the SARS COV-2 Mpro (PDB ID: 6LU7) structure was performed

* Sorumlu yazar / Corresponding author.

E-mail: ilterdemirhan@harran.edu.tr (I. Demirhan).

<https://doi.org/10.51753/flsrt.1092767> Yazar katkıları / Author contributions

Geliş tarihi / Received 24 Mart 2022 / 24 March 2022; Kabul tarihi / Accepted 27 Eylül 2022 / 27 September 2022

Cevrimiçi yayın / Available online 26 Aralık 2022 / 26 December 2022

2718-062X © 2022 This is an open access article published by Dergipark under the CC BY license.

with CABSDOCK. It has been observed that the binding affinity of magainin b2 and peptide ctyr2801 is high, alloferon 1 and magainin b1 have a moderate binding affinity, and thermorin-1ta, dermaseptin s4 and clavanin b have a high level of binding affinity. According to our results; Peptide ctyr2801 and magainin b2 are thought to lead to *in vivo* studies and other studies on the SARS COV-2 Mpro structure.

Keywords: Antiviral peptide; CABSDOCK; protein peptide docking; SARS COV-2 Mpro

1. Giriş / Introduction

Viral enfeksiyonlar eski zamanlardan bu yana bildirilmiş olsa da bilim insanların daha sonra virüs olarak adlandırılan “filtrelenebilir parçacıkları” izole edebilmeleri ancak on dokuzuncu yüzyılda mümkün olmuştur. O zamandan günümüze, viral çoğalma, enfeksiyon ve aşısı üretiminin kontrolü ile ilgili büyük atılımlar, çocuk hastalığının eradikasyonu, kızamık ve çocuk felci bulaşmasının kontrollü gibi insan-virus etkileşiminde dikkate değer ilerlemelere yol açmıştır. Bununla birlikte, virusler hala insan hastalıklarının ana nedenlerinden biri olmaya devam etmektedir. Bunun sebebi olarak yeni aşıların keşfinin ve geliştirilmesinin genellikle zorlu ve zaman alıcı olması söylenebilir (Mahmoud, 2016). Viral kontrol için en yaygın kullanılan tedavi yöntemi antiviral ilaç tedavisi olmuştur (Lou, 2014).

Genel bir bakış açısıyla, antiviral ilaçlar için en yaygın etki mekanizmaları, virus hedefli antiviraller ve konakçı hedefli antivirallerdir. Virus hedefli antiviraller, proteazlar ve polimerazlar gibi önemli transkripsiyon ve replikasyon enzimlerinin inhibisyonuna veya viral yapısal proteinlerin doğrudan inaktivasyonuna odaklanır (Kiser ve Flexner, 2013). Bunun aksine, konakçı hücreyi hedefleyen antiviraller ise replikasyon döngüsü sırasında bazı virusler tarafından kaçırılan önemli hücresel faktörler olduğu bilinen inhibisyon siklofilinleri (Lou, 2014), interferonlar gibi immünomodülatörlerin kullanımı ve gama globülinlere odaklanmaktadır (El Raziky ve ark., 2013; Lin ve Young, 2014).

Birinci nesil antiviral moleküller (60'larda ve 70'lerin başında tanımlanmıştır), zayıf özgüllüklerinden dolayı insanlar üzerinde ciddi yan etkilere sahiptir. Örneğin, bir replikasyon inhibitörü olarak kullanılan bir adenosin analogu olan vidarabin, sadece viral DNA polimerazı değil, aynı zamanda ökaryotik analogu da etkileyebilmektedir. Bu alandaki araştırmaların ilerlemesi, herpes simplex virusu (HSV) ve varicella zoster virusu (VZV) enfeksiyonlarının tedavisinde başarılı olarak kabul edilen asiklovir, ilk nükleozid analogu ve antiviral ilaç gibi daha iyi moleküllerin tanımlanmasına yol açmıştır. Spesifikliği nedeniyle (viral bir proteinin aracılık ettiği bir fosforilasyon adımı gerektirir) bu molekül, daha önce kullanılan tedavilere kıyasla konakçı için daha düşük toksisiteye neden olur (Thompson ve Whitley, 2011).

H1N1, Ebola ve zika virusu (ZIKV) viral salgınlarının ortaya çıktıktan sonraki ilk 5 yılında yapılan çalışmalarda gözlemlendiği gibi kullanılan antiviral tedavilerin düşük etkinliği, viral direnç ve artan viral enfeksiyonlar yeni raporlar ile kanıtlanmıştır (Deming ve McNicholl, 2011; Le Page ve ark., 2013; Hui ve ark., 2017; Marston ve ark., 2017; De Souza ve ark., 2018). Bu nedenle, geniş spektrumlu aktivite sunabilen moleküller için artan tercihle birlikte yeni antiviral ilaçların üretimine olan talep her zamankinden daha fazladır (Lowe ve ark., 2018). Bu yeni moleküllerin araştırılması, önemli viral yapılar veya enzimler ile molekül etkileşimine (Jesus ve ark.,

2012; Elshabrawy ve ark., 2014) ve doğal kaynaklardan elde edilen yeni bileşiklerin izolasyonuna (Cantatore ve ark., 2013; Rothan ve ark., 2014) dayanan biyoinformatik destekli tahminler gibi farklı yaklaşımları içerir. Bu tür teknikler kullanılarak şimdiden kadar birçok yeni molekül tanımlanmıştır ve son zamanlarda antimikrobiyal peptidlerin tanımı dikkat çekmektedir (Hakim ve ark., 2013; Ishag ve ark., 2013).

Son kanıtlar, bir savunma bariyeri olarak antiviral proteinli bileşiklerin işlevini vurgulamaktadır ve bazı antimikrobiyal peptidlerin ayrıca geniş bir virus yelpazesine karşı aktivite gösterebildiği ve bu nedenle antiviral peptidler (AVP'ler) olarak adlandırıldığı gösterilmiştir (Chen ve ark., 2017; Altmann ve ark., 2012). Bu moleküller ayrıca biyoinformatik araçların kullanılmasıyla da elde edilebilmektedir ve daha sonra tasarlanmış veya yapay AVP'ler olarak adlandırılmaktadır. Yapay bir peptidin, bir yüzey glikoproteini veya önemli bir viral enzim gibi belirli bir hedefe karşı etkileşim için test edildiği yem çalışmalarından elde edilebilmektedir (Okazaki ve Kida, 2004). Peptidlerin tahmini için tasarlanmış özel yazılım kullanılarak *in silico*'da elde edilmektedir (Mooney ve ark., 2012). Her iki durumda da topoloji, amino asit bileşimi, yük ve bir in antiviral aktivitesini etkileyebilecek diğer birçok kimyasal ve yapısal özellik gibi birçok ayar dikkate alınır (Maccari ve ark., 2013; Sharma ve ark., 2014).

AVP'lerin incelenmesi, son yıllarda çok sayıda araştırma projesinin odak noktası olmuştur ve bu tür moleküllerin yapıları ve etki mekanizmaları daha önce gözden geçirilmiş ve hatta antiviral peptid veritabanı (AVPdb—<http://crdd.osdd.net/servers/avpdb/>) gibi çevrimiçi veri tabanlarında derlenmiştir. İlgili sunucuda 2683 deneyel olarak test edilmiş peptid girişi olduğu görülmektedir (Barlow ve ark., 2014; Mulder ve ark., 2014; Qureshi ve ark., 2014). Etki mekanizmaları ile ilgili olarak (Şekil 1), AVP'lerin viral partikülü doğrudan inhibe ederek hareket ettiğinde çoğunlukla virüsidal olarak adlandırılırlar veya konakçı hücre zarındaki protein bağlantı bölgesi için rekabet ederler. Bununla birlikte, viral gen ekspresyonunun baskılanmasına neden olarak viral döngünün diğer aşamalarında da etkili olabilmektedir (Zapata ve ark., 2016).

CABSDOCK modelleme yöntemi, CABS kaba taneli modeli kullanılarak bir peptidin birleştirilmiş bağlanması ve katlanmasıının etkin simülasyon şemasına dayanmaktadır. CABS, içsel olarak düzensiz bir peptidin katlanması ve bağlanması mekanizması, denatüre edilmiş durumdan katlanmış duruma küresel proteinlerin katlanması (Jamroz ve ark., 2014; Zambrano ve ark., 2015) protein dinamiklerinin simülasyonu, neredeyse doğal yapı dalgalanmaları (Steczkiewicz ve ark., 2014) ve protein yapısı tahlimine dayanmaktadır (Kurcinski ve Kolinski, 2007). CABSDOCK otomatik protokolünde (Nielsen ve ark., 2007), CABS kaba taneli simülasyonu, seçilen yeniden yapılandırılmış modellerin tüm atomlu yerel optimizasyonu ile birlleştirilir.

Bu çalışmanın amacı peptidlerin antiviral aktivitesini gösteren çalışmaların sayısının artması ve yeni antiviral ilaçlara

yönelik acil ihtiyaç nedeniyle etkili ilaçlar haline gelebilecek ve halen üzerinde çalışılmakta olan en umut verici antiviral peptidlerden protein-docking (yanaştırma) yöntemi ile SARS COV-2 ana proteaz yapısına bu peptidlerin ilgisini belirlemektedir.

2. Gereç ve yöntemler / Materials and methods

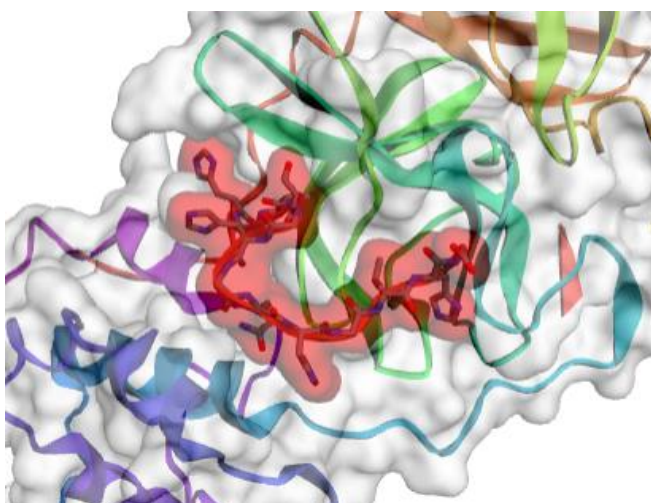
Modelleme, esnek protein-yanaştırma için CABSDOCK web sunucusu kullanılarak (<http://biocomp.chem.uw.edu.pl/CABSDOCK/>) bağlanma bölgesinde önceden bilgi sahibi olmadan gerçekleştirılmıştır. CABSDOCK bir bağlanma bölge için kör arama sırasında peptid yapısının tam esnekliğini ve protein fragmanlarının büyük ölçekli esnekliğini sağlar. CABSDOCK sunucusunun ayrıntılı açıklaması ve kıyaslama testleri yakın zamanda açıklanmıştır. CABSDOCK uygulamalarının ve uzantılarının birkaç örneğini de ifade eden literatür çalışması mevcuttur (Nielsen ve ark., 2007).

2.1. Giriş verileri / Input data

SARS COV-2 ana proteaz yapısı (PDB ID: 6LU7) protein data bankdan (<https://www.rcsb.org/>) alındı. Antiviral peptidlerden alloferon 1, e ctry2801, temporin 1ta, dermaseptin s4, cavanin b, magainin b2 ve magainin b1 yapılarının amino asit dizileri Uniprot'dan (<https://www.uniprot.org/>) alındı. Antiviral peptidlerin biyokimyasal özelliklerine bakıldığından, katyonik ve amfipatik özellikler ve pozitif net yükler olup, bunların tümü bu peptidlerin antiviral ajan olarak çalışması için önemli bir özelliklektir. Ayrıca antiviral peptidlerdeki hidrofobik olan yapıları zarflı virüslere karşı önemli aktiviteler gösterdiği bilinmektedir (Badani ve ark., 2014).

3. Bulgular / Results

Antiviral peptidlerin protein-peptid etkileşimi için proteinin peptide olan bağlanma ilgisini (RMSD değeri) Tablo 1 de verilmiştir. Antiviral peptidlerin SARS COV-2 Mpro (PDB ID:6LU7) yapısı ile birlikte yaptığımız protein-peptid docking sonuçlarına göre en iyi bağlanma modelleri Şekil 1-2-3-4-5-6-7'de gösterildi. Şekil 1-2-3-4-5'de 6LU7 protein yapısının aktif bölgesine hedeflendiği gözükmemektedir. RMSD sonuçlarına göre en iyi bağlanma Şekil 2'de görülen e ctry2801 de ve Şekil 5'de görülen magainin b2 de olduğu belirlendi. En iyi bağlanma



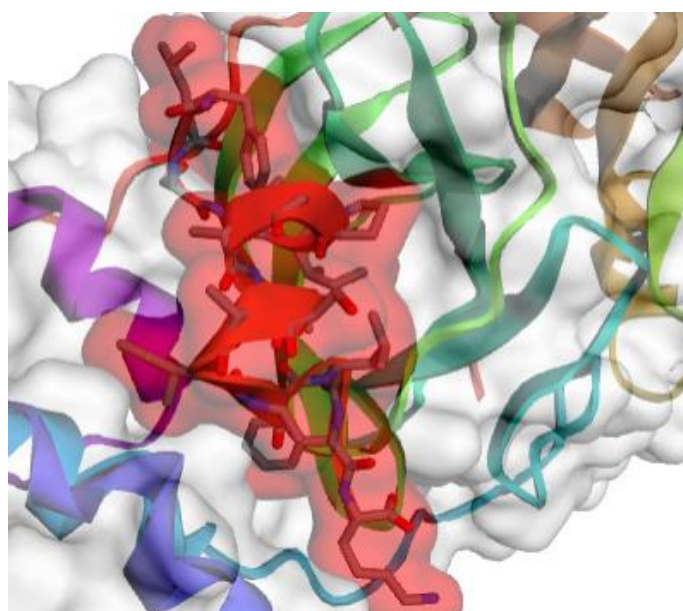
Şekil 1 / Figure 1. Alloferon 1'in SARS COV-2 (6LU7) yapısına bağlanma modeli / Binding model of alloferon 1 to the SARS COV-2 (6LU7) structure.

modeli tahminleri de Ek Şekil 1-2-3-4-5-6-7'de gösterilmiştir.

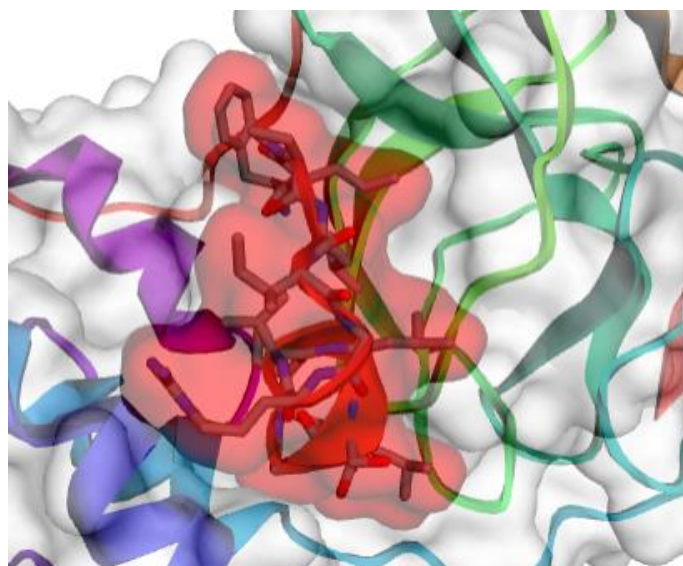
Tablo 1 / Table 1

Protein-peptid etkileşimlerinin RMSD değerleri, küme yoğunlukları ve kümeye bulunan toplam element sayıları / RMSD values of protein-peptide interactions, cluster densities and total number of elements in the cluster.

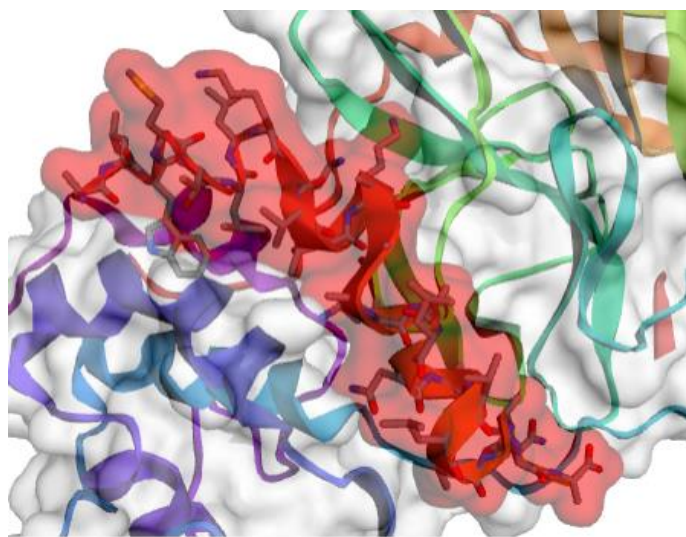
Peptidler	RMSD Değeri	Küme Yoğunluğu	Kümeye Bulunan Toplam Element Sayısı
Alloferon 1	3.60	39.40	142
E ctry2801	2.82	38.19	108
Temporin 1ta	7.30	29.01	212
Dermaseptin s4	8.64	25.22	218
Clavanin b	7.83	26.80	210
Magainin b2	2.85	38.53	110
Magainin b1	5.01	25.50	128



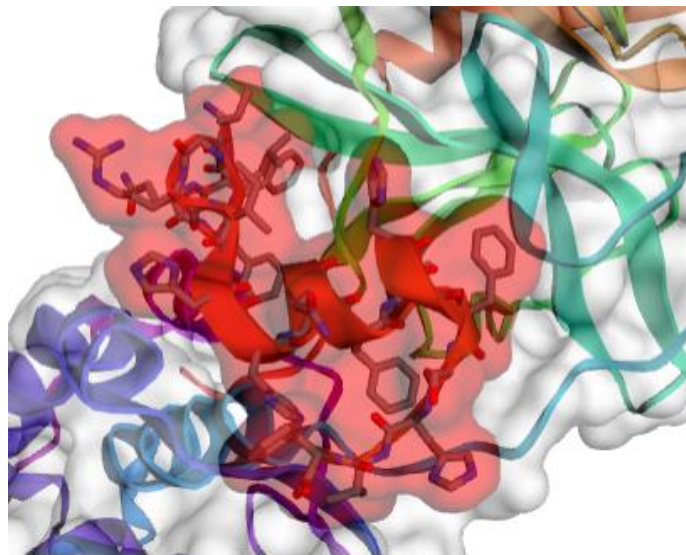
Şekil 2 / Figure 2. Peptid ctyr2801'in SARS COV-2 (6LU7) yapısına bağlanma modeli / Binding model of the peptide Ctyr2801 to the SARS COV-2 (6LU7) structure.



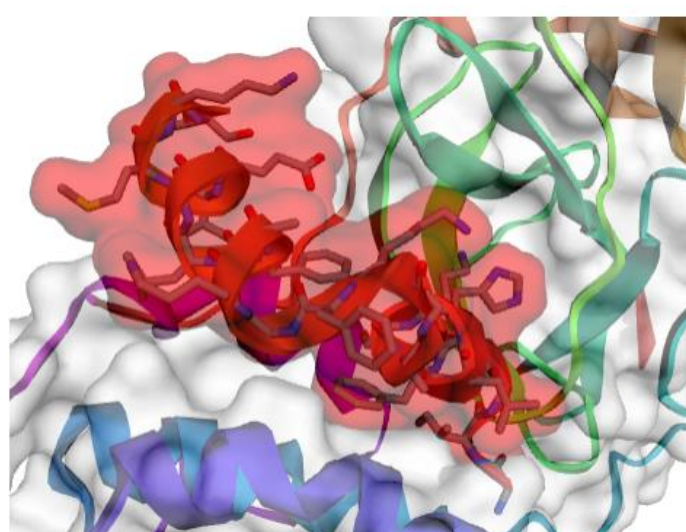
Şekil 3 / Figure 3. Temporin 1ta'nın SARS COV-2 (6LU7) yapısına bağlanma modeli / Binding model of the temporin 1ta to the SARS COV-2 (6LU7) structure.



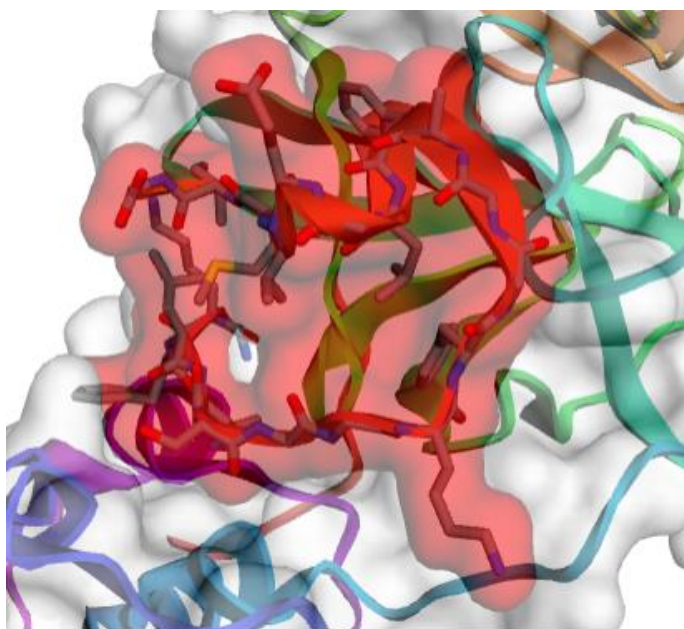
Şekil 4 / Figure 4. Dermaseptin s4'ün SARS COV-2 (6LU7) yapısına bağlanma modeli / Binding model of the temploprotein 1ta to the SARS COV-2 (6LU7) structure.



Şekil 5 / Figure 5. Clavanin b'nin SARS COV-2 (6LU7) yapısına bağlanma modeli / Binding model of the clavanin b to the SARS COV-2 (6LU7) structure.



Şekil 6 / Figure 6. Magainin b2'nin SARS COV-2 (6LU7) yapısına bağlanma modeli / Binding model of the magainin b2 to the SARS COV-2 (6LU7) structure.



Şekil 7 / Figure 7. Magainin b1'in SARS COV-2 (6LU7) yapısına bağlanma modeli / Binding model of the magainin b1 to the SARS COV-2 (6LU7) structure.

4. Tartışma / Discussion

COVID-19, 2020'de küresel bir salgın haline geldi ve etkili bir antiviral ilaç veya aşısı tam anlamıyla oluşturulmadı (Genc, 2020). Ayrıca, virüsün delta ve omikron gibi farklı SARS COV-2 varyantlarının ortaya çıkması, dünya çapında küresel sağlık için ciddi bir tehdit oluşturmuştur (Li, 2021; Araf, 2022). Salgınlar ve pandemilerle ilişkili ortaya çıkan bulasıçı hastalıklara yanıt vermede önceliklendirme ve acil durum hazırlığı son derece elzemdir. COVID-19'a karşı etkili bir antiviral arayışı içinde, AVP'lerin SARS COV-2'ye karşı potansiyel yeni antiviral ajan sınıflarından birini temsil edebileceğine inanıyoruz. Bu çalışma daha önce SARS COV-2 yapısında bilgisayar destekli modelleme çalışmalarıyla incelenmemiş olup ilk kez yapılmaktadır. Çalışma bulgularımıza göre magainin b2 ve peptid ctyr2801 peptidleri bağlanmalarının yüksek düzeyde olduğu, alloferon 1 ve magainin b1 in orta düzeyde bağlanma affinitesinin olduğu, termorin 1ta, dermaseptin s4 ve clavanin b'nin düşük düzeyde bağlanma affinitesinin olduğu belirlenmiştir.

Moleküler yanaştırmayı içeren sanal bir tarama süreci, güvenilir çevrimiçi tabanlı veri tabanında bulunan çeşitli peptid dizileri arasında güvenilir antiviral terapotiklerin belirlenmesi için uygun bir yaklaşım olarak kabul edilir. Özellikle, bir protein substrati ve bir peptid ligandi arasındaki etkileşimin bağ mesafesi ile bağlantılı olarak etkileşim tipi ve bağlanma enerjisi, moleküler kenetlenmenin kullanımı yoluyla değerlendirilebilir. Bu nedenle, bağlanma enerjisi değerlendirmesine dayalı olarak çok sayıda peptid dizisi arasında makul bir peptid taraması, en yüksek peptid adaylarını yanaştırma etkileşime göre değerlendirmek için moleküler yanaştırma çalıştırılarak minimum süre içinde uygulanabilir. Ayrıca, doğruluk elde etmek için hesaplama şemasına dahil olmak için çeşitli yanaştırma programları uyumludur (Shoichet, 2006; Hengphasatporn ve ark., 2020). Sonuç olarak, hesaplamaya dayalı bir yaklaşımın, SARS COV-2'ye karşı antiviral peptid adayının yakalanması için güvenilir bir teknik olduğu düşünülmektedir.

COVID-19'da spike proteinin bağlanma alanında mutasyon gösteren birkaç SARS COV-2 varyantı ortaya çıktıgı Gupta, 2021 tarafından belirlenmiştir. Mpro homodimerik sistein proteaz yapısındadır. Subsat bağlanma bölgesi 3 cepten oluşur. İlk cep olarak tanımlanan P1 cebinde Phe140, Asn142, Glu166, His163 ve His172 amino asit kalıntıları oluşur. P2 cebi daha derinde ve His41, Met49, Tyr54, Met165 ve Asp187 kalıntıları oluşur. P3 cebinde ise Leu168, Glu166, Pro168, Gly170 kalıntıları oluşur. Ama en önemlisi Cys15 ve His41 amino asitleri katalitik özelliği sebebiyle proteolize etki eder. Enzim yapısındaki bölünme genellikle Leu/Phe/Met-Gln ↓ Gly/Ser/Ala modelini takip eder (↓ bölünme bölgesini belirtir). P1 pozisyonundaki glutamin, proteolizin gerçekleşmesi için çok önemlidir. Bu tür bölünme bölgelerine sahip bilinen doğal insan enzimleri olmadığı için, konak hücreler üzerinde toksik etkiler için düşük bir risk olduğundan Mpro ideal bir ilaç hedefi gibi görünmektedir (Hilgenfeld ve ark., 2014; Zhang ve ark., 2020; Zhang ve ark., 2021). Virüsün tüm varyantlarında mutasyon gözlenirken Mpro geninde mutasyon gözlenmediği Jukic ve ark., 2021, tarafından bildirilmiştir. Bu sonuç Mpro'nun hedef gen olabileceği göstermektedir.

AVP'lerin antiviral aktivitelerini uygulamak için varsayılan etki mekanizması şöyle görülmektedir: (i) yüzey karbonhidrat etkileşimi ile viral girişin erken aşamalarını bloke etmek, (ii) spesifik hücresel reseptörlerle etkileşimler yoluyla viral bağlanması veya konakçı hücrelere penetrasyonu bloke etmek, (iii) viral zarf glikoproteinlerinin etkileşimi ve inaktivasyonu, (iv) konakçı hücre antiviral tepkilerinin modülasyonu ve (v) viral genlerin hücre içi ekspresyonunun ve/veya viral proteinlerin üretimeının bloke edilmesi. Bununla birlikte, şimdide kadar AVP yapıları ile viral inhibisyon arasında kesin bir ilişki ortaya çıkmamıştır. Aslında, peptidten peptide çarpıcı farklılıklar genellikle gözlenir. Mekanik olarak, birçok AVP, virüs partikülünün dış yüzey zarının doğrudan bozulmasıyla virüsidal etkilerini gösterir.

Zhao ve ark. (2012), peptid ctyr2801'in Hepatit B virüsünün replikasyonunu % 40 oranda engellediğini ve hepatit B virüsü için zayıf bir inhibitör olacağını bulmuşlardır. El Bitar ve ark. (2015) akrep zehirlerinden elde edilen magainin b1'in hepatit c virüsüne karşı öldürücü aktivitesini bulmuşlardır.

Farklı bir çalışmada antimikrobiyal etkisi olan dermaseptin s4'ün HIV-1 viral enfektesini *in vivo* olarak inhibe ettiği gösterildi (Lorin ve ark., 2005). Antimikrobiyal etkide bulunan clavanin b'nin HIV-1 viral enfektesinin inhibitörü olabileceği vurgulayan çalışmalar literatürde kayıtlıdır (Wang ve ark., 2004). Wachinger ve ark. (1992), alloferon 1 in HIV-1'in inhibitörü olabileceğini ayrıca alloferon 1'in herpes simplex virüsüne karşı etkili bir inhibitör olacağını savunan çalışmalar bulunmaktadır (Wachinger ve ark., 1992; Egal ve ark., 1999).

Kaynaklar / References

- Altmann, S. E., Brandt, C. R., Jahrling, P. B., & Blaney, J. E. (2012). Antiviral activity of the EB peptide against zoonotic poxviruses. *Virology Journal*, 9(1), 1-6.
- Araf, Y., Akter, F., Tang, Y. D., Fatemi, R., Parvez, M. S. A., Zheng, C., & Hossain, M. G. (2022). Omicron variant of SARS-COV-2: genomics, transmissibility, and responses to current COVID-19 vaccines. *Journal of Medical Virology*, 94(5), 1825-1832.
- Badani, H., Garry, R. F., & Wimley, W. C. (2014). Peptide entry inhibitors of enveloped viruses: the importance of interfacial hydrophobicity. *Biochimica et Biophysica Acta (BBA)-Biomembranes*, 1838(9), 2180-2197.
- Barlow, P. G., Findlay, E. G., Currie, S. M., & Davidson, D. J. (2014). Antiviral potential of cathelicidins. *Future Microbiology*, 9(1), 55-73.
- Cantatore, A., Randall, S. D., Traum, D., & Adams, S. D. (2013). Effect of black tea extract on herpes simplex virus-1 infection of cultured cells. *BMC Complementary and Alternative Medicine*, 13(1), 1-10.
- Chen, L., Liu, Y., Wang, S., Sun, J., Wang, P., Xin, Q., ... & Wang, W. (2017). Antiviral activity of peptide inhibitors derived from the protein E stem against Japanese encephalitis and Zika viruses. *Antiviral Research*, 141, 140-149.
- Deming, P., & McNicholl, I. R. (2011). Coinfection with Human Immunodeficiency Virus and Hepatitis C Virus: Challenges and Therapeutic Advances: Insights from the Society of Infectious Diseases Pharmacists. *Pharmacotherapy: The Journal of Human Pharmacology and Drug Therapy*, 31(4), 357-368.
- De Souza, W. V., Albuquerque, M. D. F. P. M. D., Vazquez, E., Bezerra,

Mohan ve ark., Vaccinia virüsü zarlarına karşı AVP yapısında bulunan PD3, PD4 ve RW3'ün ün virüsidal aktivitesini %100'e yakın buldular (Mohan ve ark., 2010). Benzer çalışmada temporin 1ta'nın vaccina virüsüne karşı inhibitör etkisinin olduğu, AVP yeteneğinin oldukça güçlü olduğu vurgulanmaktadır (Wang ve ark., 2004).

Yu ve ark. (2017), hamile farelerde zika virüsü enfeksiyonunu bazı bir viral inaktivatörle engellediklerini gösterdiler. Lok ve ark. (2012) deng virüsünün genomunun salımını ile inhibe ettiğini gösterdi. Hrobowski ve ark. (2005) Deng ve batı Nil virüsü enfektesini ile inhibe ettiğini gösterdi. Literatür araştırmaları değerlendirildiğinde çeşitli peptid yapılarının anti viral inhibitör olabileceği göstermektedir.

4. Sonuç / Conclusion

Sonuç olarak, AVP'ler basit birincil yapıları nedeniyle yapısal ve işlevsel olarak çok yönlüdür ve öngörelmemeyen gelecekte ciddi halk sağlığı tehditleri oluşturan COVID-19 veya ortaya çıkan salgınlar karşısında hızlı terapötik adayların oluşturulması için moleküler şablonlar olarak hizmet edebilir. Yapılmış olunan çalışma sonuçlarına göre bağlanma tahminin değerlendirilmesi Yüksek kaliteli tahmin: $rmsd < 3 \text{ \AA}$, Orta kalitede tahmin: $3 \text{ \AA} \leq rmsd \leq 5,5 \text{ \AA}$, Düşük kaliteli tahmin: $rmsd > 5,5 \text{ \AA}$ olarak tanımlanmaktadır. Buna göre magainin b2 ve peptid ctyr2801 peptidleri bağlanmalarının yüksek düzeyde olduğu, alloferon 1 ve magainin b1 in orta düzeyde bağlanma affinitesinin olduğu, termorin 1ta, dermaseptin s4 ve clavanin B'nin düzey düzeyde bağlanma affinitesinin olduğu belirlenmiştir. Sonuçlarımız değerlendirildiğinde alloferon 1 ve magainin b2'nin SARS COV-2 ana proteaz yapısında *in vivo* çalışmalarda değerlendirileceği ve diğer çalışmalara öncülük edeceği kanaatindeyiz.

Teşekkür / Acknowledgments: Bu çalışmanın hazırlanması aşamasında bizlerden yardımını esirgemeyen Prof. Dr. Ergül BELGE KURUTAŞ hocamızı teşekkürlerimizi sunarız. / We would like to thank Prof. Dr. Ergül BELGE KURUTAŞ for her assistance during the preparation of this study.

Çıkar çatışması / Conflict of interest: Yazalar herhangi bir çıkar çatışması olmadığını beyan eder / The authors declare that they have no conflict of interests.

Etik beyanı / Informed consent: Bu çalışmada, yazarlar, hiçbir insan ya da hayvan denek kullanmadığını ve Etik Kurul iznine gerek olmadığını beyan eder / The authors declare that this manuscript did not involve human or animal participants and informed consent was not collected.

- L. C. A., Mendes, A. D. C. G., Lyra, T. M., ... & Martelli, C. M. T. (2018). Microcephaly epidemic related to the Zika virus and living conditions in Recife, Northeast Brazil. *BMC Public Health*, 18(1), 1-7.
- Egal, M., Conrad, M., MacDonald, D. L., Maloy, W. L., Motley, M., & Genco, C. A. (1999). Antiviral effects of synthetic membrane-active peptides on herpes simplex virus, type 1. *International Journal of Antimicrobial Agents*, 13(1), 57-60.
- El-Bitar, A. M., Sarhan, M. M., Aoki, C., Takahara, Y., Komoto, M., Deng, L., ... & Hotta, H. (2015). Virocidal activity of Egyptian scorpion venoms against hepatitis C virus. *Virology Journal*, 12(1), 1-9.
- El Raziky, M., Fathalah, W. F., El-Akel, W. A., Salama, A., Esmat, G., Mabrouk, M., ... & Khatab, H. M. (2013). The effect of peginterferon alpha-2a vs. peginterferon alpha-2b in treatment of naive chronic HCV genotype-4 patients: a single centre Egyptian study. *Hepatitis Monthly*, 13(5).
- Elshabrawy, H. A., Fan, J., Haddad, C. S., Ratia, K., Broder, C. C., Caffrey, M., & Prabhakar, B. S. (2014). Identification of a broad-spectrum antiviral small molecule against severe acute respiratory syndrome coronavirus and Ebola, Hendra, and Nipah viruses by using a novel high-throughput screening assay. *Journal of Virology*, 88(8), 4353-4365.
- Genc, B. N. (2020). Critical management of COVID-19 pandemic in Turkey. *Frontiers in Life Sciences and Related Technologies*, 1(2), 69-73.
- Gupta, R.K. (2021). Will SARS COV-2 variants of concern affect the promise of vaccines? *Nature Reviews Immunology*, 21, 340-341.
- Hakim, A., Nguyen, J. B., Basu, K., Zhu, D. F., Thakral, D., Davies, P. L., ... & Meng, W. (2013). Crystal structure of an insect antifreeze protein and its implications for ice binding. *Journal of Biological Chemistry*, 288(17), 12295-12304.
- Hilgenfeld, R. (2014). From SARS to MERS: crystallographic studies on coronaviral proteases enable antiviral drug design. *The FEBS Journal*, 281(18), 4085-4096.
- Hengphasatporn, K., Garon, A., Wolschann, P., Langer, T., Yasutera, S., Huynh, T. N., ... & Rungrotmongkol, T. (2020). Multiple virtual screening strategies for the discovery of novel compounds active against dengue virus: A hit identification study. *Scientia Pharmaceutica*, 88(1), 2-19.
- Hrobowski, Y. M., Garry, R. F., & Michael, S. F. (2005). Peptide inhibitors of dengue virus and West Nile virus infectivity. *Virology Journal*, 2(1), 1-10.
- Hui, D. S., Lee, N., & Chan, P. K. (2017). A clinical approach to the threat of emerging influenza viruses in the Asia-Pacific region. *Respirology*, 22(7), 1300-1312.
- Ishag, H. Z., Li, C., Huang, L., Sun, M. X., Ni, B., Guo, C. X., & Mao, X. (2013). Inhibition of Japanese encephalitis virus infection in vitro and in vivo by pokeweed antiviral protein. *Virus Research*, 171(1), 89-96.
- Jamroz, M., Kolinski, A., & Kmiecik, S. (2014). CABS-flex predictions of protein flexibility compared with NMR ensembles. *Bioinformatics*, 30(15), 2150-2154.
- Jesus, T., Rogelio, L., Abraham, C., Uriel, L., Garcia, J., Alfonso, M. T., & Lilia, B. B. (2012). Prediction of antiviral peptides derived from viral fusion proteins potentially active against herpes simplex and influenza A viruses. *Bioinformation*, 8(18), 870.
- Jukic, M., Škrlj, B., Tomšić, G., Pleško, S., Podlipnik, Č., & Bren, U. (2021). Prioritisation of compounds for 3CLpro inhibitor development on SARS-CoV-2 variants. *Molecules*, 26(10), 300-303.
- Kurcinski, M., & Kolinski, A. (2007). Hierarchical modeling of protein interactions. *Journal of Molecular Modeling*, 13(6), 691-698.
- Kiser, J. J., & Flexner, C. (2013). Direct-acting antiviral agents for hepatitis C virus infection. *Annual Review of Pharmacology and Toxicology*, 53, 427-449.
- Le Page, A. K., Jager, M. M., Iwasenko, J. M., Scott, G. M., Alain, S., & Rawlinson, W. D. (2013). Clinical aspects of cytomegalovirus antiviral resistance in solid organ transplant recipients. *Clinical Infectious Diseases*, 56(7), 1018-1029.
- Li, M., Lou, F., & Fan, H. (2021). SARS-CoV-2 Variants of Concern Delta: a great challenge to prevention and control of COVID-19. *Signal Transduction and Targeted Therapy*, 6(1), 1-3.
- Lin, F. C., & Young, H. A. (2014). Interferons: success in anti-viral immunotherapy. *Cytokine & Growth Factor Reviews*, 25(4), 369-376.
- Lok, S. M., Costin, J. M., Hrobowski, Y. M., Hoffmann, A. R., Rowe, D. K., Kukkaro, P., ... & Michael, S. F. (2012). Release of dengue virus genome induced by a peptide inhibitor. *PLoS One*, 7(11), e50995.
- Lou, Z., Sun, Y., & Rao, Z. (2014). Current progress in antiviral strategies. *Trends in Pharmacological Sciences*, 35(2), 86-102.
- Lowe, R., Barcellos, C., Brasil, P., Cruz, O. G., Honório, N. A., Kuper, H., & Carvalho, M. S. (2018). The Zika virus epidemic in Brazil: from discovery to future implications. *International Journal of Environmental Research and Public Health*, 15(1), 96.
- Maccari, G., Di Luca, M., Nifosi, R., Cardarelli, F., Signore, G., Boccardi, C., & Bifone, A. (2013). Antimicrobial peptides design by evolutionary multiobjective optimization. *PLoS Computational Biology*, 9(9), e1003212.
- Mahmoud, A. (2016). New vaccines: Challenges of discovery. *Microbial Biotechnology*, 9(5), 549-552.
- Marston, B. J., Dokubo, E. K., van Steelandt, A., Martel, L., Williams, D., Hersey, S., ... & Redd, J. T. (2017). Ebola response impact on public health programs, West Africa, 2014-2017. *Emerging Infectious Diseases*, 23(Suppl 1), S25.
- Mohan, K. V., Rao, S. S., & Atreya, C. D. (2010). Antiviral activity of selected antimicrobial peptides against vaccinia virus. *Antiviral Research*, 86(3), 306-311.
- Mooney, C., Haslam, N.J., Pollastri, G., & Shields, D.C. (2012). Towards the improved discovery and design of functional es: common features of diverse classes permit generalized prediction of bioactivity. *PLoS One*, 7, 1-12.
- Mulder, K. C., Lima, L. A., Miranda, V. J., Dias, S. C., & Franco, O. L. (2013). Current scenario of peptide-based drugs: the key roles of cationic antitumor and antiviral peptides. *Frontiers in Microbiology*, 4, 321-344.
- Nielsen, M., Lundsgaard, C., Blicher, T., Lamberth, K., Harndahl, M., Justesen, S., ... & Buus, S. (2007). NetMHCpan, a method for quantitative predictions of peptide binding to any HLA-A and-B locus protein of known sequence. *PloS One*, 2(8), e796.
- Okazaki, K., & Kida, H. (2004). A synthetic peptide from a heptad repeat region of herpesvirus glycoprotein B inhibits virus replication. *Journal of General Virology*, 85(8), 2131-2137.
- Qureshi, A., Thakur, N., Tandon, H., & Kumar, M. (2014). AVPdb: a database of experimentally validated antiviral peptides targeting medically important viruses. *Nucleic Acids Research*, 42(D1), D1147-D1153.
- Rothan, H. A., Bahrani, H., Rahman, N. A., & Yusof, R. (2014). Identification of natural antimicrobial agents to treat dengue infection: In vitro analysis of latarcins peptide activity against dengue virus. *BMC Microbiology*, 14(1), 1-10.
- Sharma, A., Singla, D., Rashid, M., & Raghava, G. P. S. (2014). Designing of peptides with desired half-life in intestine-like environment. *BMC Bioinformatics*, 15(1), 1-8.
- Shoichet, B. K. (2006). Interpreting steep dose-response curves in early inhibitor discovery. *Journal of Medicinal Chemistry*, 49(25), 7274-7277.
- Steczkiewicz, K., Zimmermann, M. T., Kurcinski, M., Lewis, B. A., Dobbs, D., Kloczkowski, A., ... & Ginalski, K. (2011). Human telomerase model shows the role of the TEN domain in advancing the double helix for the next polymerization step. *Proceedings of the National Academy of Sciences*, 108(23), 9443-9448.
- Thompson, C., & Whitley, R. (2011). Neonatal herpes simplex virus infections: where are we now?. *Hot Topics in Infection and Immunity in Children VII*, 221-230.
- Wang, W., Owen, S. M., Rudolph, D. L., Cole, A. M., Hong, T., Waring, A. J., ... & Lehrer, R. I. (2004). Activity of α-and θ-defensins against primary isolates of HIV-1. *The Journal of Immunology*, 173(1), 515-520.
- Yu, Y., Deng, Y. Q., Zou, P., Wang, Q., Dai, Y., Yu, F., ... & Lu, L. (2017). A peptide-based viral inactivator inhibits Zika virus infection in pregnant mice and fetuses. *Nature Communications*, 8(1), 1-12.
- Zambrano, R., Jamroz, M., Szczasiuk, A., Pujols, J., Kmiecik, S., & Ventura, S. (2015). AGGRESCAN3D (A3D): server for prediction of aggregation properties of protein structures. *Nucleic Acids Research*, 43(W1), W306-W313.
- Zapata, W., Aguilar-Jiménez, W., Feng, Z., Weinberg, A., Russo, A., Potenza, N., ... & Rugeles, M. T. (2016). Identification of innate immune antiretroviral factors during in vivo and in vitro exposure to HIV-1. *Microbes and Infection*, 18(3), 211-219.
- Zhang, C. H., Stone, E. A., Deshmukh, M., Ippolito, J. A., Ghahremanpour, M. M., Tirado-Rives, J., ... & Jorgensen, W. L. (2021). Potent noncovalent inhibitors of the main protease of SARS-CoV-2 from

molecular sculpting of the drug perampanel guided by free energy perturbation calculations. *ACS central science*, 7(3), 467-475.

Zhang, L., Lin, D., Kusov, Y., Nian, Y., Ma, Q., Wang, J., ... & Hilgenfeld, R. (2020). α -Ketoamides as broad-spectrum inhibitors of coronavirus and enterovirus replication: structure-based design, synthesis, and activity assessment. *Journal of Medicinal Chemistry*, 63(9), 4562-

4578.

Zhao, Z., Hong, W., Zeng, Z., Wu, Y., Hu, K., Tian, X., ... & Cao, Z. (2012). Mucroporin-M1 inhibits hepatitis B virus replication by activating the mitogen-activated protein kinase (MAPK) pathway and down-regulating HNF4 α in vitro and in vivo. *Journal of Biological Chemistry*, 287(36), 30181-30190.

Cite as / Atf şekli: Demirhan, I., Oner, E., & Belge Kurtulus, E. (2022). Antiviral peptidlerin SARS COV-2 ana proteaz yapısına bağlanma etkinliklerinin protein-yanaştırma yöntemi ile incelenmesi: *In silico* çalışma. *Front Life Sci RT*, 3(3), 121-127.

Ek / Supplementary

Receptor residue	Peptide residue	Receptor residue	Peptide residue	Receptor residue	Peptide residue
ASP A 295	GLY B 2	ARG A 298	HIS B 1	ASP A 295	HIS B 1
PHE A 294	GLY B 2	PHE A 294	HIS B 6	PHE A 294	HIS B 1
THR A 292	GLY B 2	THR A 292	GLN B 8	ILE A 249	GLY B 7
VAL A 202	GLN B 8	GLU A 240	HIS B 9	ILE A 200	HIS B 9
GLY A 183	HIS B 12	ILE A 200	GLN B 8	TYR A 182	HIS B 12
CYS A 160	VAL B 3	TYR A 182	VAL B 11	SER A 158	SER B 4
ASN A 151	SER B 4	ILE A 152	HIS B 1	ASN A 151	VAL B 3
ASN A 151	HIS B 1	ASN A 151	GLY B 2	PHE A 134	HIS B 12
PHE A 112	HIS B 1	PHE A 112	VAL B 3	THR A 111	VAL B 3
THR A 111	HIS B 1	THR A 111	GLY B 2	GLN A 110	GLY B 5
GLN A 110	VAL B 3	GLN A 110	SER B 4	GLN A 110	GLY B 2
GLY A 109	GLN B 8	GLY A 109	HIS B 9	PRO A 108	VAL B 11
PRO A 108	HIS B 9	PRO A 108	GLY B 10	GLN A 107	GLY B 10
GLN A 107	GLN B 8	GLN A 107	HIS B 9	GLN A 107	HIS B 6
GLN A 107	SER B 4	GLN A 107	GLY B 5	ILE A 106	VAL B 11
ARG A 105	VAL B 11	ARG A 105	HIS B 12	ARG A 105	GLY B 5
VAL A 104	GLY B 5	ARG A 105	SER B 4	VAL A 104	SER B 4
META 6	HIS B 1	PHE A 8	HIS B 1		

Ek Şekil 1 / Supplement Figure 1. Alloferon 1 in SARS COV-2 (6LU7) yapısındaki bağlanma bölge tahminleri / Binding site predictions in the SARS COV-2 (6LU7) structure of alloferon 1.

Receptor residue	Peptide residue	Receptor residue	Peptide residue	Receptor residue	Peptide residue
ARG A 298	PHE B 1	ARG A 298	LEU B 2	ARG A 298	SER B 3
ASP A 295	SER B 3	VAL A 297	ALA B 8	VAL A 297	ILE B 12
PHE A 294	ALA B 8	PHE A 294	ILE B 9	PHE A 294	SER B 14
PHE A 294	LEU B 2	PHE A 294	SER B 3	PHE A 294	LEU B 4
PRO A 293	SER B 14	PRO A 293	PHE B 16	PHE A 294	PHE B 1
PRO A 252	ILE B 12	LEU A 253	ILE B 12	THR A 292	PHE B 16
ILE A 249	ALA B 13	ILE A 249	SER B 14	LEU A 250	ILE B 12
ILE A 200	PHE B 16	VAL A 202	PHE B 16	ILE A 249	ILE B 12
ASP A 153	GLY B 7	TYR A 154	PHE B 1	SERA 158	PRO B 6
ILE A 152	ILE B 5	ASP A 153	PHE B 1	ASP A 153	PRO B 6
ILE A 152	PHE B 1	ILE A 152	LEU B 2	ILE A 152	LEU B 4
ASN A 151	LEU B 4	ASN A 151	ILE B 5	ASN A 151	PRO B 6
PHE A 112	LEU B 4	SERA 113	LEU B 4	PHE A 150	LEU B 4
THR A 111	SER B 3	THR A 111	LEU B 4	THR A 111	ILE B 5
GLN A 110	SER B 14	GLN A 110	LEU B 15	GLN A 110	PHE B 16
GLY A 109	PHE B 16	GLN A 110	LEU B 4	GLN A 110	ILE B 5
GLN A 107	PHE B 16	GLNA 107	LYS B 17	GLY A 109	LEU B 15
PRO A 9	LEU B 2	ILE A 106	ILE B 5	ILE A 106	LEU B 15
PHE A 8	LEU B 2	PHE A 8	SER B 3	PHE A 8	LEU B 4
META 6	SER B 3	ALAA 7	SER B 3	PHE A 8	PHE B 1

Ek Şekil 2 / Supplement Figure 2. Peptid ctyr2801 in SARS COV-2 (6LU7) yapısındaki bağlanma bölge tahminleri / Binding site predictions in the SARS COV-2 (6LU7) structure of peptid ctyr2801.

Receptor residue	Peptide residue
PHE A 294	ILE B 12
PHE A 294	LEU B 2
THR A 292	ILE B 12
ASP A 248	ARG B 7
GLU A 240	LEU B 13
VAL A 202	GLY B 11
ASP A 153	LEU B 2
ASN A 151	LEU B 2
GLN A 110	ILE B 12
GLN A 110	LEU B 2
GLY A 109	ILE B 12
GLN A 107	LEU B 9
VAL A 104	LEU B 2

Receptor residue	Peptide residue
ASP A 295	PHE B 1
PHE A 294	PRO B 3
PRO A 293	ILE B 12
ILE A 249	ARG B 7
ASP A 245	ARG B 7
ASN A 203	ILE B 12
ILE A 200	ILE B 12
ILE A 152	PHE B 1
THR A 111	PHE B 1
GLN A 110	LEU B 4
GLY A 109	LEU B 13
GLN A 107	LEU B 13
ILE A 106	LEU B 2

Receptor residue	Peptide residue
ARG A 298	PHE B 1
PHE A 294	VAL B 8
PHE A 294	PHE B 1
ILE A 249	VAL B 8
HIS A 246	GLY B 11
GLU A 240	GLY B 11
ILE A 200	LEU B 13
ASP A 153	PHE B 1
ASN A 151	PHE B 1
GLN A 110	VAL B 8
GLN A 110	PHE B 1
PRO A 108	LEU B 13
ILE A 106	LEU B 9

Ek Şekil 3 / Supplement Figure 3. Temporin 1ta'nın SARS COV-2 (6LU7) yapısındaki bağlanma bölge tahminleri / Binding site predictions in the SARS COV-2 (6LU7) structure of temporin 1ta.

Receptor residue	Peptide residue
VAL A 297	TRP B 3
PHE A 294	LEU B 7
PRO A 293	TRP B 3
PRO A 252	THR B 5
LEU A 250	TRP B 3
ILE A 249	VAL B 10
ASP A 245	ALA B 15
PRO A 241	VAL B 23
GLU A 240	ALA B 20
ASN A 203	LYS B 16
THR A 196	ALA B 27
GLY A 195	ASN B 26
ASN A 133	ASN B 26
PRO A 132	ALA B 25
PRO A 108	ALA B 17
GLN A 107	LYS B 16
GLN A 107	LYS B 12
VAL A 104	LYS B 12

Receptor residue	Peptide residue
SERA 301	ALA B 1
PHE A 294	LYS B 9
PRO A 293	LEU B 11
LEU A 253	TRP B 3
PRO A 252	ALA B 1
ILE A 249	LEU B 11
ILE A 249	TRP B 3
THR A 243	ASN B 19
GLU A 240	VAL B 23
GLU A 240	LYS B 16
THR A 198	ALA B 25
GLY A 195	ALA B 27
ASN A 151	LYS B 9
PRO A 132	ASN B 26
PRO A 108	ALA B 20
GLN A 107	ALA B 17
GLN A 107	ALA B 13
ILE A 106	LYS B 12

Receptor residue	Peptide residue
SERA 301	LEU B 2
PHE A 294	LEU B 11
PHE A 294	LEU B 6
THR A 292	LEU B 11
PRO A 252	TRP B 3
ILE A 249	ALA B 15
ILE A 249	LEU B 6
THR A 243	LEU B 22
PRO A 241	ASN B 19
GLU A 240	ASN B 19
VAL A 202	LYS B 16
THR A 196	ASN B 26
SERA 158	LYS B 12
ASN A 133	ALA B 25
GLY A 109	LYS B 16
PRO A 108	LYS B 16
GLN A 107	ALA B 14
GLN A 107	LEU B 11

Ek Şekil 4 / Supplement Figure 4. Dermaseptin s4'ün SARS COV-2 (6LU7) yapısındaki bağlanma bölge tahminleri / Binding site predictions in the SARS COV-2 (6LU7) structure of dermaseptin s4.

Receptor residue	Peptide residue
THR A 292	PHE B 4
ASP A 245	ILE B 9
THR A 243	HIS B 11
PRO A 241	HIS B 11
GLU A 240	ILE B 9
ILE A 200	VAL B 12
GLY A 183	PHE B 19
ASN A 151	PHE B 2
PRO A 132	VAL B 16
PHE A 112	PHE B 2
GLN A 110	PHE B 2
PRO A 108	VAL B 16
PRO A 108	PHE B 4
GLN A 107	ILE B 8
ILE A 106	LEU B 5
VAL A 104	LEU B 5

Receptor residue	Peptide residue
PHE A 294	PHE B 2
ASP A 245	HIS B 10
ASP A 245	ARG B 7
PRO A 241	VAL B 22
GLU A 240	HIS B 11
META 235	VAL B 22
PRO A 184	PHE B 19
ASP A 153	VAL B 1
ASN A 133	PHE B 15
ARG A 131	VAL B 16
GLN A 110	PHE B 4
GLY A 109	PHE B 4
PRO A 108	VAL B 12
GLN A 107	VAL B 12
GLN A 107	PHE B 4
ARG A 105	LEU B 5

Receptor residue	Peptide residue
ILE A 249	ILE B 9
ASP A 245	ILE B 8
PRO A 241	PHE B 23
GLU A 240	VAL B 12
TYR A 239	VAL B 22
THR A 198	PHE B 15
TYR A 182	VAL B 16
PHE A 134	VAL B 16
PRO A 132	PHE B 15
THR A 111	PHE B 2
GLY A 109	VAL B 12
PRO A 108	GLY B 13
GLN A 107	GLY B 13
GLN A 107	LEU B 5
ILE A 106	PHE B 2

Ek Şekil 5 / Supplement Figure 5. Clavanin B'nin SARS COV-2 (6LU7) yapısındaki bağlanma bölge tahminleri / Binding site predictions in the SARS COV-2 (6LU7) structure of Clavanin B.

Receptor residue	Peptide residue
SER A 301	VAL B 20
ARG A 298	VAL B 20
VAL A 297	PHE B 16
PHE A 294	SER B 8
PRO A 293	PHE B 5
PHE A 291	ILE B 2
PRO A 252	GLY B 13
ASP A 245	LEU B 6
VAL A 202	GLY B 1
PHE A 112	LYS B 4
GLN A 110	LYS B 4
GLY A 109	ILE B 2
PRO A 108	ILE B 2
GLN A 107	GLY B 3

Receptor residue	Peptide residue
GLY A 302	LEU B 17
ARG A 298	SER B 23
VAL A 297	VAL B 20
PHE A 294	PHE B 16
PRO A 293	SER B 8
THR A 292	ILE B 2
LEU A 253	PHE B 5
ILE A 249	ILE B 2
VAL A 202	ILE B 2
ASN A 151	LYS B 4
GLN A 110	HIS B 7
GLN A 110	ILE B 2
PRO A 108	GLY B 3
GLN A 107	LEU B 6

Receptor residue	Peptide residue
GLY A 302	MET B 21
SER A 301	LEU B 17
ARG A 298	GLU B 19
VAL A 297	SER B 8
PHE A 294	PHE B 5
PRO A 293	ILE B 2
GLN A 256	LEU B 17
ILE A 249	PHE B 5
ASN A 203	ILE B 2
TYR A 154	LYS B 22
THR A 111	LYS B 4
GLN A 110	GLY B 3
GLY A 109	GLY B 1
PRO A 108	GLY B 1

Ek Şekil 6 / Supplement Figure 6. Magainin b2'nin SARS COV-2 (6LU7) yapısındaki bağlanma bölge tahminleri / Binding site predictions in the SARS COV-2 (6LU7) structure of magainin b2.

Receptor residue	Peptide residue
PHE A 294	PHE B 3
PRO A 293	PHE B 3
THR A 292	GLY B 1
ASP A 245	SER B 6
GLU A 240	SER B 6
ILE A 200	HIS B 5
GLY A 183	LYS B 12
TYR A 182	LEU B 15
ASN A 180	PHE B 14
ASP A 176	LYS B 12
PHE A 134	PHE B 10
ASN A 133	GLY B 8
THR A 111	GLY B 1
GLN A 110	LEU B 4
GLY A 109	HIS B 5
PRO A 108	ALA B 7
GLN A 107	VAL B 18
GLN A 107	HIS B 5
ARG A 105	GLY B 21
ARG A 105	PHE B 14

Receptor residue	Peptide residue
ASP A 295	GLY B 1
PHE A 294	GLY B 1
THR A 292	PHE B 3
ILE A 249	PHE B 3
GLU A 240	ALA B 7
VAL A 202	HIS B 5
PRO A 184	PHE B 10
GLY A 183	PHE B 10
PHE A 181	LYS B 12
ASP A 176	PHE B 14
ASN A 151	GLY B 1
ASN A 133	LYS B 9
ARG A 131	PHE B 10
GLN A 110	HIS B 5
GLN A 110	GLY B 1
PRO A 108	PHE B 10
GLN A 107	MET B 19
GLN A 107	SER B 6
ILE A 106	MET B 19
ARG A 105	MET B 19

Receptor residue	Peptide residue
VAL A 297	PHE B 3
PHE A 294	LYS B 2
THR A 292	HIS B 5
ILE A 249	LEU B 4
THR A 243	SER B 6
ASN A 203	HIS B 5
PRO A 184	GLY B 11
GLY A 183	GLY B 11
TYR A 182	LYS B 12
ASN A 180	LYS B 12
ASN A 151	LYS B 2
ASN A 133	PHE B 10
PRO A 132	PHE B 10
GLN A 110	ILE B 20
GLN A 110	LYS B 2
PRO A 108	LEU B 15
PRO A 108	HIS B 5
GLN A 107	ALA B 7
GLN A 107	LEU B 4
ARG A 105	ILE B 20

Ek Şekil 7 / Supplement Figure 7. Magainin b1'in SARS COV-2 (6LU7) yapısındaki bağlanma bölge tahminleri / Binding site predictions in the SARS COV-2 (6LU7) structure of magainin b1.